

그림 4 AGT 경량전철

경량전철 경산시험선에 배치되는 안테나는 CBTC용 안테나 10개, 열차무선데이터전송장치용 안테나 6개가 설치되어 있다.

시험선로는 곡선반경이 400m 이상으로 선형은 매우 좋으나 금경사의 산이 바로 옆에 위치하고 있어 시야가 좋지 않다. 특히 전파의 직진성에 많은 장애를 주고 있으며, 전파반사가 발생하기 때문에 시점율을 기준으로 하여 600m - 1,000m 지역에 많은 수의 안테나가 배치된다. 이러한 영향 때문에 시험선로 시점(0m)에 설치되는 CBTC용 안테나의 경우 그림과 같이 주행선로를 중심으로 하여 8m정도 벗어나게 설치를 하여야 한다. 그 외의 안테나는 주행선로 측벽에 가깝게 설치하였다.

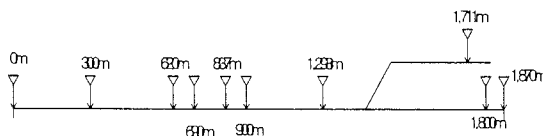


그림 5 CBTC무선기 설치 위치도

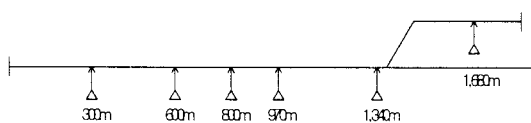


그림 6 열차무선데이터전송장치 안테나 배치

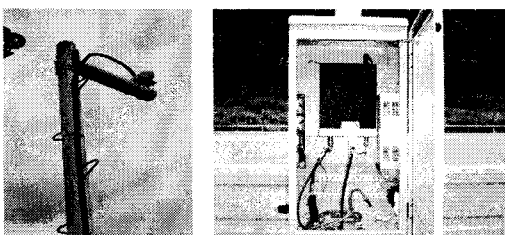


그림 7 CBTC용 안테나 및 무선장치

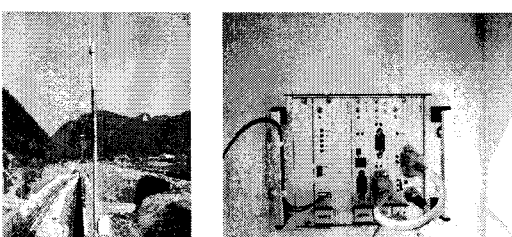


그림 8 열차무선데이터전송장치용 안테나 및 무선장치

2.2 차상내 신호시스템

신호제어시스템과 관계되어 있는 주요한 차상장치는 CBTC차상컴퓨터, ATO차상컴퓨터, 열차무선데이터전송 차상장치 및 이러한 기기와 관련된 장치이다. 차상장치의 구성도는 그림 11과 같다.

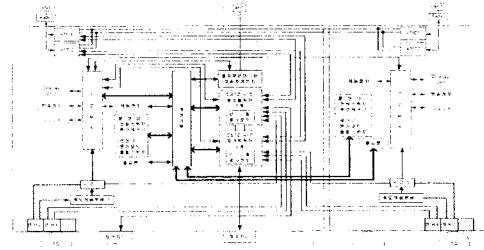


그림 11 차상신호제어시스템구성도

경량전철시스템에 설치되는 차상신호장치는 중량전철의 전동차에 설치되는 차상신호장치와 달리 설치수량 및 설치공간에 고려할 사항이 있다. 일반적으로 중량전철의 지하철은 2중화된 차상신호장치를 2sets를 설치하지만, 본 연구개발의 경우 경량전철은 차량의 길이가 짧고, 제어대상장치의 수량이 적기 때문에 2중계로 된 신호장치를 1[set]만 설치하였다.

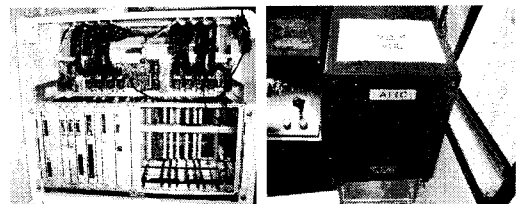


그림 12 CBTC 차상컴퓨터 & ATIC 차상설치

CBTC역컴퓨터에서 속도제어지령 등의 정보를 수신하고, 속도센서(TG)의 정보와 비교하여 열차가 안전한 속도로 주행하고 있는가 속도검사를 한다. 속도를 초과한 것으로 판정했을 때는 제동제어지령을 제동제어장치에 출력한다. CBTC차상컴퓨터는 수동운전 시에 필요한 차내속도신호를 운전대에 표시한다. 또한 원하지 않는 열차의 후진을 검지하면 제동제어지령을 제동제어장치에 출력한다. VRS는 열차의 선두 및 후미차량의 지붕에 설치되는 무선기이며 WRS/SRS와 통신을 한다. 그리고 ATIC장치는 CBTC차상장치와 VRS간 인터페이스를 하는 장치로서 VRS 근방에 설치된다.

ATO지상차로부터 정보를 수신하여 정위치정지패턴 생성과 거리보정을 한다. 정위치정지패턴을 판정하여 가감 속도지령을 차량의 구동장치에 출력한다. ATO차상컴퓨터가 논리처리를 한 결과 제동제어가 필요한 경우는 제동지령을 제동제어장치에 출력한다.

열차무선데이터전송차상장치는 비상경보신호 전송, 비상정지스위치취급신호, 열차무인운전관련정보를 중앙사령실로 전송을 한다.

열차를 무인자동으로 운전하기 위해서는 기존의 시스템에서 승무원과 운전사가 수행했던 업무가 자동운전으로 대체되었지만 열차가 이상시에 수동조작을 필요로 했던 업무는 중앙지령원이 수행하는 것으로 한다. 이것을 위해서 차량에 탑재되어 있는 각 기기의 상태정보를 중앙지령실에 집중시켜 중앙지령원의 지령조작을 지원한다.

ATIC - CBTC/ATO차상컴퓨터간 인터페이스내용은 다음과 같다.

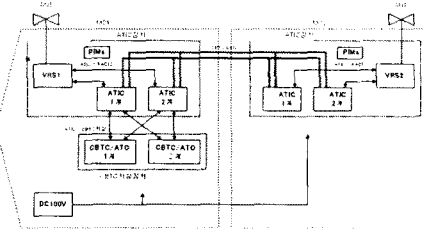


그림 14 ATIC - CBTC/ATO차상컴퓨터 연결도

항 목	성 능	비 고
논리처리	2 중계	
I/F 처리	2 중계	
직렬 I/F (입·출력)	RS-485	
전송속도	57.6kbps	
전송 주기	ATIC -> CBTC차상 표준 500ms (최대 33ms) CBTC차상 -> ATIC 표준 250ms (최대 250ms)	
변조방식	NRZ	
통신방식	점이중	
Frame형식	HDLC에 준거	

표 1 ATIC 장치 제원

2.3 신호시스템 계측채널

CBTC/ATO차상컴퓨터 1개 및 2개는 MC1차량에 탑재되어 있는 TCMS장치와 시리얼 통신으로 연결된다. MC2차량에 있는 TCMS에 필요한 정보는 MC1의 TCMS를 경유한다. 이 시리얼통신과는 별도로 CBTC/ATO차상컴퓨터와 TCMS는 또한 계전기를 사용하여 연결된다.

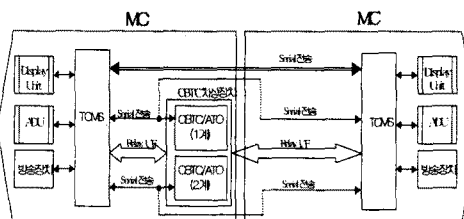


그림 15 TCMS적렬통신 인터페이스 구성

(1) 제동장치(ONB1, ONB2, ONB3 Channel)

CBTC차상장치는 제동노치에 상당하는 제동코드를 TCMS장치에 출력하고, TCMS장치는 이를 갖고 제동장치에 대한 제동지령으로 사용한다.

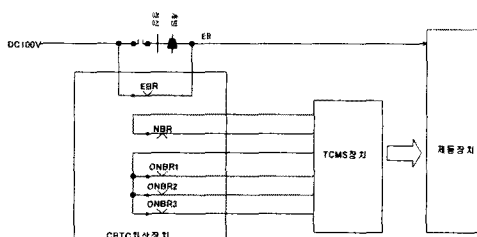


그림 16 제동제어장치 인터페이스 구성

제동 노치	ONBRI	ONBR2	ONB3	감속도
B1	0	0	1	소 : 대
B2	0	1	0	
B3	0	1	1	
B4	1	0	0	
B5	1	0	1	
B6	1	1	0	
B7	1	1	1	상용최대제동

표 2 제동장치 신호에 따른 제동노치

(2) 추진제어장치(VVVF장치 ; P1, P2, P3 Channel)

CBTC차상장치는 역행 노치에 상당하는 역행코드를 TCMS장치로 출력하고, 이를 받은 TCMS장치가 추진제어장치에 대한 역행제어를 행한다.

역행 노치	P3R	P2R	P1R	감속도
P1	0	0	1	소 : 대
P2	0	1	0	
P3	0	1	1	
P4	1	0	0	

표 3 추진제어장치에 따른 역행노치

(3) Master Handle 제어

(MC1MNR, MC1MB7R, MC2MNR, MC2MB7R)
제동제어장치, 추진제어장치의 제어노치 신호를 생성한다.

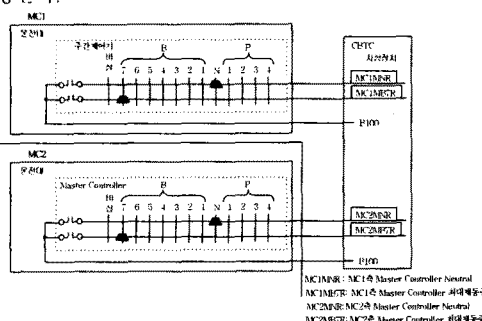


그림 17 Master Handle 제어기상태입력 I/F

(4) 전진/중립/후진 스위치(MC1FR, MC1NR, MC1RR, MC2FR, MC2NR, MC2RR)

ATO 무인운전의 경우에만 스위치위치를 N으로 설정을 하고 이외의 경우에는 F로 설정한다. 또한 후전을 하는 경우에는 R로 설정한다.

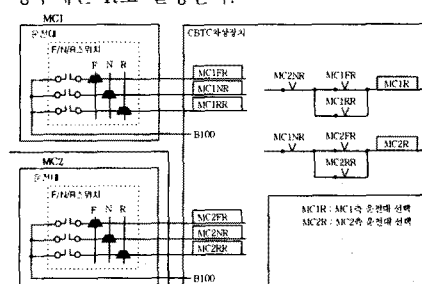


그림 18 F/N/R 인터페이스

(5) 운전모드선택 스위치

(MC1ATODL, MC1ATOMA, MC1MTO,
MC1MTOY, MC1AATCE,
MC2ATODL, MC2ATOMA, MC2MTO,
MC2MTOY, MC2AATCE)

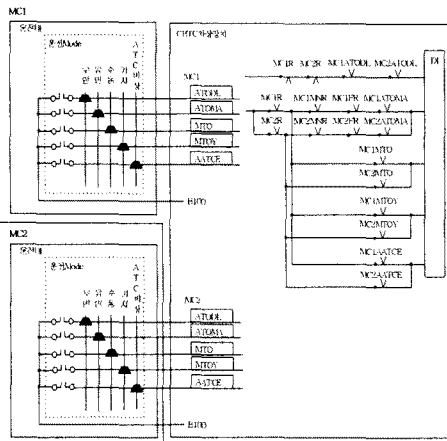


그림 19 운전모드입력 인터페이스

열차의 주행운전모드를 설정하는데 사용하여 운전모드는 무인모드(ATO 무인), 자동모드(ATO 유인), 수동모드(MTO), 기지모드(YARD), ATC비상과 같다.

무인모드는 ATO에 의한 자동출발, 자동가속·감속운전, 정밀정차, 출입문·플랫폼도어 자동개·폐, 자동입환을 무인자동으로 처리한다. 자동모드는 ATO에 의한 자동가속·감속운전, 정밀정차, 출입문·플랫폼도어의 자동개·폐, 자동입환 등을 자동으로 처리하고 출발은 승문원이 조작을 한다. 수동모드는 CBTC에 의한 수동가속·감속, 및 역구내의 수동 입환운전, 출입문·플랫폼도어의 자동개·폐열림(단, 플랫폼도어를 개방모드로 제어할 때 출입문은 자동개폐), 차상표시의 지시속도에 따라 운전, 속도초과시는 CBTC에 의해 자동제동한다. 기지모드는 차고지 운전으로 주행속도를 30km/h로 제한한다. 현 경선시험선의 경우 기지모드를 적용하는 국히 어려울 것으로 보인며, ATO비상모드는 CBTC지상장치에 고장이 발생한 경우 비상운전방식에서 제한속도 없이 승무원이 주의를 갖고 운전을 한다. 또는 열차가 사령설역과 함께 시설되는 검수고로 이동할 때 적용한다.

3. 결 과

본 시험은 무인모드(ATO무인), 자동모드(ATO유인), ATO비상모드의 세가지 모드로 각각 시험하였다. 시험선의 D역을 출발하여, B역, A역을 도착역으로 하여, 각각의 역에서는 3~5초간 정차하여 통상운행패턴으로 운전하여 CBTC에서의 신호를 계측하였다.

그림 24에서 무인모드에서 첫 번째(청색) 그래프는 시험한 경전철의 속도곡선을 나타내고 있으며, 나머지 세 개의 그래프는 표 2에서 나타난 ONB1, ONB2, ONB3의 제동신호의 나타내고 있다. 그림 25는 P1, P2, P3의 주진 제어장치의 신호를, 그림 26에서 그림 28까지는 전진/중립/후진 스위치, Master Handle 제어, 운전모드입력 결과를 그래프로 나타내었다. 자동모드, ATO비상모드에서도 서로 비교할 수 있도록 같은 조건으로 시험하였다.

3.1 무인모드(ATO 무인)

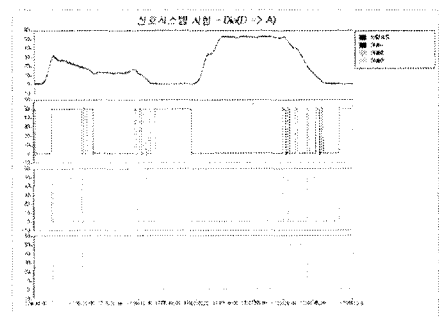


그림 24 CBTC 제동장치 signal

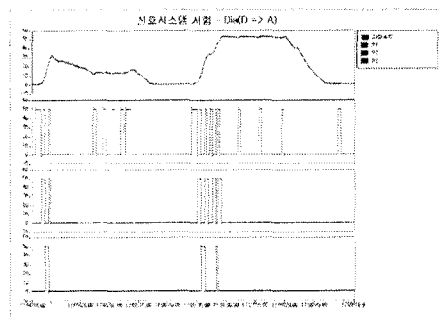


그림 25 CBTC 역행장치 signal

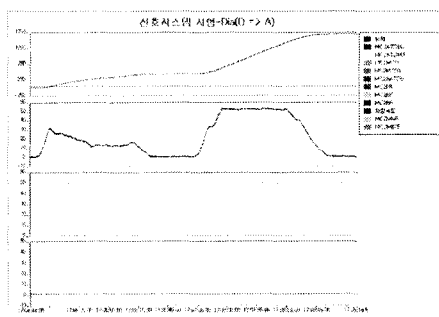


그림 26 CBTC Master Handle 제어 signal

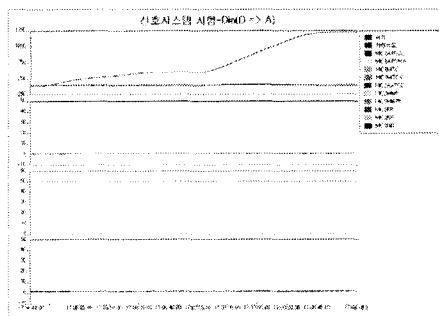


그림 27 전진/중립/후진 선택 signal

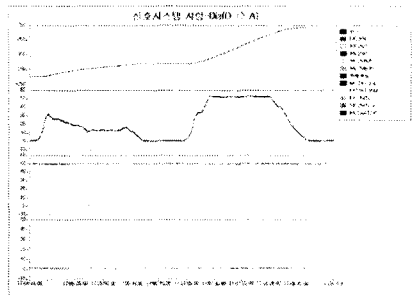


그림 28 운전모드선택 signal

3.2 자동모드(ATO 유인)

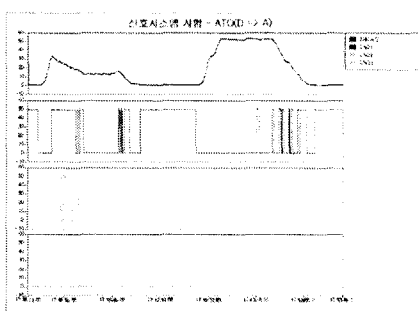


그림 29 CBTC 제동장치 signal

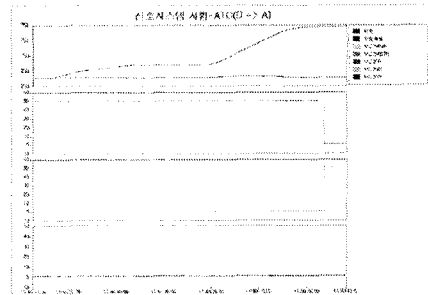


그림 32 전진/중립/후진 선택 signal

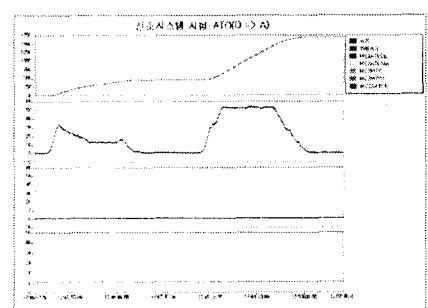


그림 33 운전모드선택 signal

3.3 ATO 비상모드

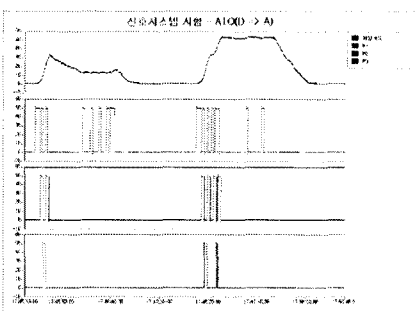


그림 30 CBTC 역행장치 signal

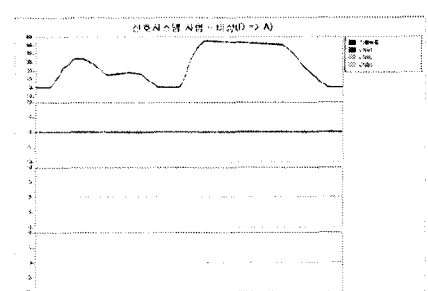


그림 34 CBTC 제동장치 signal

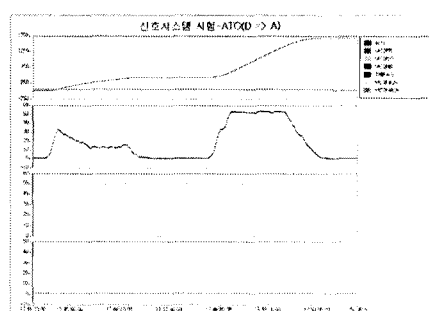


그림 31 CBTC Master Handle 제어 signal

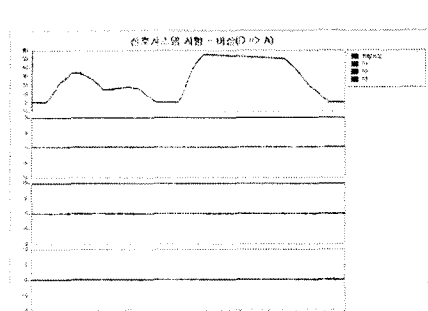


그림 35 CBTC 역행장치 signal

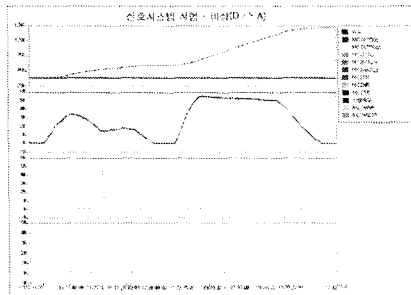


그림 36 CBTC Master Handle 제어 signal

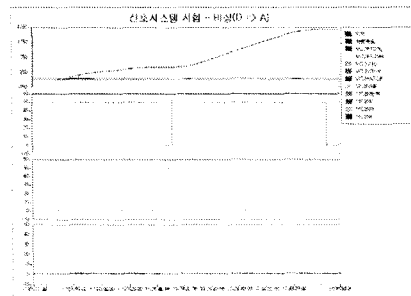


그림 37 전진/중립/후진 선택 signal

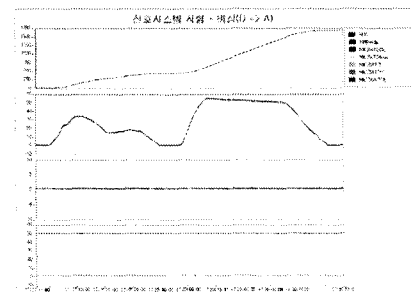


그림 38 운전모드선택 signal

4. 결 론

ATO부인운전, ATO유인자동운전, 비상운전의 결과를 비교해보면, 각각의 운행모드에서 CBTC와 차량 사이에 정상적인 동작을 하고 있음을 확인할 수 있다. 하지만 CBTC System에 의한 무인운전을 대한 연구는 실제 적용하는 데 있어서 아직은 부족하다. 현재 국내에서도 경량전철은 도시교통에서의 설계노선이 적용될 예정일 때 무인운전의 안전성과 신뢰성에 관한 연구는 계속되어야 할 것이다. 더욱이 본 논문에서는 2량 1편성에 의한 시험결과를 나타낸 것이므로 복수차량에 운행에 의한 안전성 시험, 더미차량에 의한 실제 운전시격에 관한 시험 등을 시행하여 국내 경량전철의 CBTC에 의한 신호시스템을 더욱 발전시켜야 할 것이다.

[참 고 문 헌]

- [1] 한국철도기술연구원, “경량전철 신호제어시스템 기술개발 연구 결과보고서”, pp. II-77 ~ II-151, 2004.

[2] 정학교, 박종현, “경량전철 시험선 시격에 관한 해석적 고찰”, 한국철도학회학술대회 출고문집, 2003.